

衝撃荷重におけるコンクリートの応力波形について

立命館大学理工学部 正員 明石外世樹
同 大学院 学生員 竹内 正喜

1. まえがき

既製鉄筋コンクリートくいが打撃によって打ち込まれると、くいの頭部が打撃応力によって破壊することがある。これは打撃時の高応力波による疲労破壊、または圧縮応力波の干渉によって引張り応力が生することに起因すると考えられる。打撃応力は重錘重量、落高、地盤、くい周辺の摩擦力、クッションなどによつて変化すると考えられる。この研究はクッション、重錘の重量、重錘の打撃時の速度、重錘の長さが応力波高値、波形にどのような影響を及ぼすか、さらに応力波のくいの減衰状態を小供試体を用いて測定したものである。

2. 実験方法

鉄筋コンクリートくいを小型にした供試体は直径7.5cm、1:3モルタルで、長さ201cmの供試体は径4mmの鉄線を軸方向に6本入れ、400cmの供試体は径6mmの鉄筋を3本入れたものである。これを撞木状に水平に釣り下げる、40, 60, 80 cm/secの速度で供試体に打撃を与えた。応力波の測定には、供試体の両端面より7.5cmと中央に半導体ゲージを直角4方向に貼り、これを直並列に結線し平均歪をうるようとした。半導体ゲージはゲージ率が100~130と大で、 2×10^6 程度の歪が測定できた。

半導体ゲージは新興通信のKGN-7-EI、シンクロスユーフのフリアンフには岩崎通信のSp-02DFH-Aを使用した。応力波をフラン管上に映像させ、その最大値に達する時間を測定するため、重錘が光のビームを切ることにより電気信号を作り、これによつて可変遅延トリガーを作りストップ開始時間を倒換した。
測定の状況は写真(1)に示す。

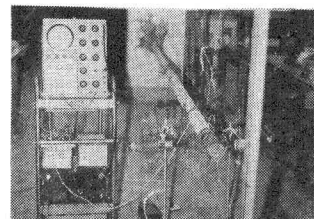


写真-(1) 測定装置

3. 実験結果および考察

i) モルタルの動弾性係数は 370000 dyne/cm^2 であった。ここで重力加速度: g 、継弾性係数: E 、単位体積重量 γ とし、 $E = 370000 \text{ dyne/cm}^2$ を使用し、コンクリート中の継波伝は速度 $C = \sqrt{E/\gamma}$ は 3970 cm/sec 、同様に重錘中の継波伝は速度を求めると 5120 cm/sec である。写真2-(a)(b)(c)は重錘が夫々3kg(8.2cm)、5kg(14.2cm)、10kg(28.6cm)で打撃速度が 60 cm/sec の写真である。この応力波は図-(1)の理論的解釈によく一致している。

ii) 201 cm の供試体において三ヶ所に貼った半導体ゲージで夫々別々に応力を測定した。これによると中央部の引張り応力は両端の引張り応力よりも5~10倍大きく測定された。これは両端では圧縮応力波が干渉し、中央部では干渉しないために引張応力が大きくなつたのであろう。写真3-(a)(b)、表-1

iii) さらに 201 cm のくいを写真(4)に示すように 20×20 、長さ 228 cm の箱にくいを入れ、

2.5mm以下の砂を十分に振動突き固めし、応力波の測定をしたが、砂の影響ははっきりと区別できなかった。写真(5)

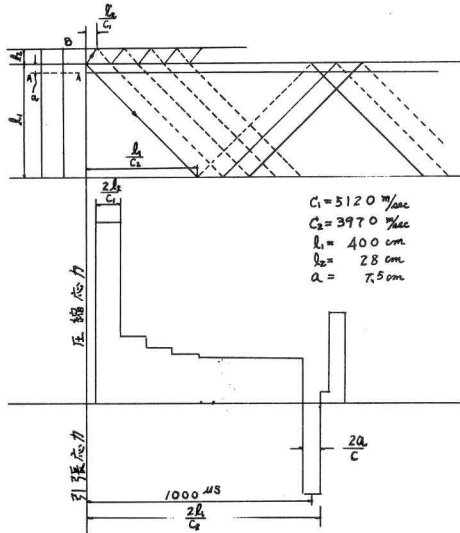


図-1 応力波の理論解析図

表-1 打撃応力の測定値

$W = 5 \text{ kg}$ $L = 20 \text{ cm}$

サンプル 重量 kg	サンプル 寸法 cm	無し		ひしの木		ファスター・レン衝頭		合成アム	
		正圧	引張	正圧	引張	正圧	引張	正圧	引張
80	前	31.5	1.8	24.0	2.5	19.8	1.8	4.4	0
	中	27.0	22.5	20.5	12.0	15.4	7.2	3.2	0
	後	19.0	3.3	20.1	2.5	2.7	1.6		
60	前	19.5	2.0	19.1	2.0	13.1	1.3	3.5	0
	中	17.1	15.5	17.0	10.0	8.0	4.5	2.0	
	後	10.3	2.0	16.5	2.0	1.5	1.6		
40	前	11.2	1.2	12.6	1.6	7.1	0.6	2.0	0
	中	10.1	9.1	11.4	6.5	5.5	1.7	1.3	0
	後	5.9	1.2	9.5	1.1	1.0	0.3		

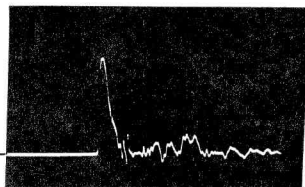


写真-2(a)
 $W = 10 \text{ kg}$, Sweep = 1, Cal = 2

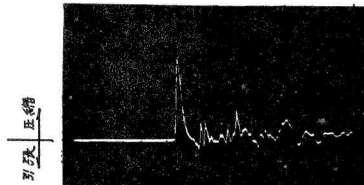


写真-2(b)
 $W = 5 \text{ kg}$, Sweep = 1, Cal = 2

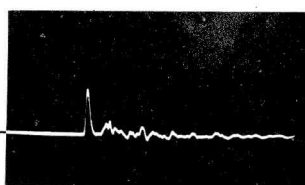


写真-2(c)
 $W = 3 \text{ kg}$, Sweep = 1, Cal = 2

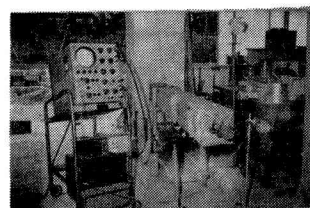


写真-4
測定装置

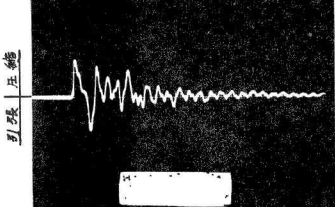


写真-3(a)
圧縮応力 = 27.6 %/cm², 引張応力 = 24.9 %/cm²

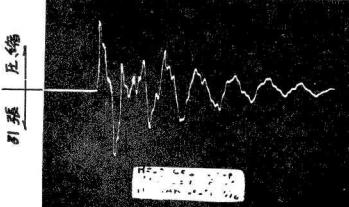


写真-3(b)
圧縮応力 = 22.7 %/cm², 引張応力 = 18.4 %/cm²

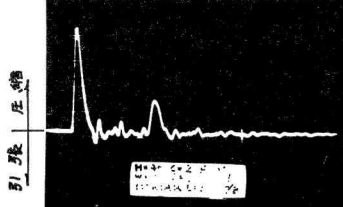


写真-5
圧縮応力 = 30.6 %/cm², 引張応力 = 3.2 %/cm²